

Breis for $\Delta A \cdot \Delta B \geq \frac{1}{2} | \langle [\hat{A}, \hat{B}] \rangle | :$

$$(\Delta A)^2 = \langle (A - \langle A \rangle)^2 \rangle = \langle (\hat{A} - \langle A \rangle)^2 \rangle = \langle \tilde{A}^2 \rangle$$

og tilsvarende $(\Delta B)^2 = \dots = \langle \tilde{B}^2 \rangle$. Dus

$\tilde{A} = \hat{A} - \langle A \rangle$ og $\tilde{B} = \hat{B} - \langle B \rangle$ er operatorer for avvik fra forventningsverdiene.

Starter med $\int | \tilde{A} \Psi + i\alpha \tilde{B} \Psi |^2 dx \geq 0$,

inntil videre med vilkårlig reell α .

Siden $A, B, \langle A \rangle$ og $\langle B \rangle$ er reelle, er samtlige operatorer $\hat{A}, \hat{B}, \tilde{A}, \tilde{B}$ hermiteske. Da kan

$$\int \Psi_1^* \hat{F} \Psi_2 dx = \int \Psi_2 (\hat{F} \Psi_1)^* dx \quad (\text{PCH 2.8})$$

benyttes etter behov.

$$\int \{ \tilde{A} \Psi + i\alpha \tilde{B} \Psi \}^* \{ \tilde{A} \Psi + i\alpha \tilde{B} \Psi \} dx$$

$$= \int (\tilde{A} \Psi)^* \tilde{A} \Psi dx + \alpha^2 \int (\tilde{B} \Psi)^* \tilde{B} \Psi dx$$

$$+ i\alpha \int (\tilde{A} \Psi)^* \tilde{B} \Psi dx - i\alpha \int (\tilde{B} \Psi)^* \tilde{A} \Psi dx$$

$$= \langle \tilde{A}^2 \rangle + \alpha^2 \langle \tilde{B}^2 \rangle + i\alpha \langle \tilde{A} \tilde{B} - \tilde{B} \tilde{A} \rangle$$

$$= \cancel{\langle \tilde{A}^2 \rangle} + \alpha^2 \cancel{\langle \tilde{B}^2 \rangle} + i\alpha \langle [\tilde{A}, \tilde{B}] \rangle \geq 0$$

$$[\tilde{A}, \tilde{B}] = (\hat{A} - \langle A \rangle)(\hat{B} - \langle B \rangle) - (\hat{B} - \langle B \rangle)(\hat{A} - \langle A \rangle) \quad (48)$$

$$= \hat{A}\hat{B} - \hat{B}\hat{A} - \underbrace{\hat{A}\langle B \rangle + \langle B \rangle\hat{A}}_{=0} - \underbrace{\langle A \rangle\hat{B} + \hat{B}\langle A \rangle}_{=0} + \underbrace{\langle A \rangle\langle B \rangle - \langle B \rangle\langle A \rangle}_{=0}$$

$$= [\hat{A}, \hat{B}]$$

$$\Rightarrow (\Delta A)^2 + \alpha^2 (\Delta B)^2 + i\alpha \langle [\hat{A}, \hat{B}] \rangle \geq 0$$

$$\Rightarrow (\Delta A)^2 (\Delta B)^2 \geq -\alpha^2 (\Delta B)^4 - \alpha i \langle [\hat{A}, \hat{B}] \rangle (\Delta B)^2$$

Ulikheten gjelder generelt, også for $\alpha = -\frac{i}{2(\Delta B)^2} \langle [\hat{A}, \hat{B}] \rangle$ som gir maksimal høyre side. Innsetting av denne α gir

$$(\Delta A)^2 (\Delta B)^2 \geq -\frac{1}{4} \langle [\hat{A}, \hat{B}] \rangle^2 \quad (\text{som er positiv, da } [\hat{A}, \hat{B}] \text{ er imaginær})$$

$$\Rightarrow \Delta A \cdot \Delta B \geq \frac{1}{2} |\langle [\hat{A}, \hat{B}] \rangle| \quad (\text{qed})$$

$$\text{Eks 1: } [x, \hat{p}_x] = i\hbar \Rightarrow \Delta x \cdot \Delta p_x \geq \frac{\hbar}{2}$$

En partikkel kan ikke ha skarp x og p_x samtidig

$$\text{Eks 2: } [y, \hat{p}_z] = 0$$

En partikkel kan ha skarp y og p_z samtidig

Eks 3: Hva slags $\Psi(x)$ gir minimal $\Delta x \cdot \Delta p_x = \hbar/2$? (49)

Løsn: Må tilsvare $\tilde{A}\Psi + i\alpha\tilde{B}\Psi = 0$, med
 $\tilde{A} = x - \langle x \rangle$, $\tilde{B} = \hat{p} - \langle p \rangle = \frac{\hbar}{i} \frac{\partial}{\partial x} - \langle p \rangle$ og

$$\alpha = -\frac{i}{2(\Delta p)^2} \langle [x, \hat{p}] \rangle = \frac{\hbar}{2(\Delta p)^2} = \frac{\Delta x \Delta p}{(\Delta p)^2} = \frac{\Delta x}{\Delta p}$$

Dermed:

$$(x - \langle x \rangle)\Psi + \left(\alpha\hbar \frac{d}{dx} - i\alpha\langle p \rangle\right)\Psi = 0$$

$$\Rightarrow \frac{d\Psi}{\Psi} = \left(-\frac{x - \langle x \rangle}{\alpha\hbar} + \frac{i\langle p \rangle}{\hbar}\right) dx$$

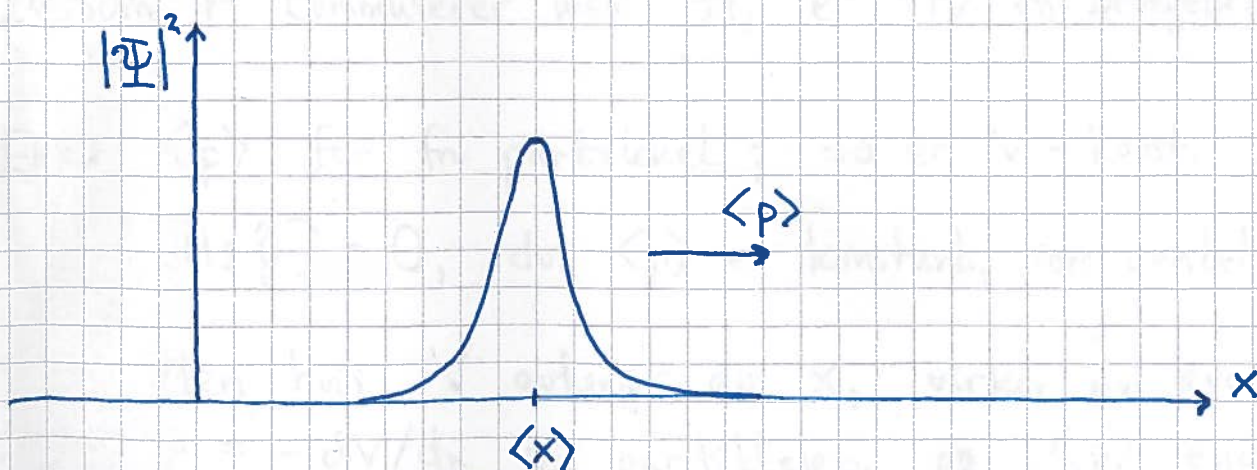
$$\Rightarrow \Psi(x) = C \cdot \exp\left\{-\frac{(x - \langle x \rangle)^2}{2\alpha\hbar} + \frac{i\langle p \rangle x}{\hbar}\right\}$$

der $2\alpha\hbar = 2 \cdot \frac{\Delta x}{\Delta p} \cdot 2\Delta x \Delta p = (2\Delta x)^2$ slik at

$$\Psi(x) = C \cdot \exp\left\{-\left(\frac{x - \langle x \rangle}{2\Delta x}\right)^2 + \frac{i\langle p \rangle x}{\hbar}\right\}$$

dvs en gaussformet ("gaussisk") bølgepakke med

tyngdepunkt i $x = \langle x \rangle$ og med bredde Δx :



Forventningsverdiens tidsutvikling

(50)

[PCH 4.3 ; DFG 3.4.3 ; IØ 4.3]

Vi bruker def. av $\langle F \rangle$, samt SL :

$$\begin{aligned}\frac{d}{dt} \langle F \rangle &= \frac{d}{dt} \left\{ \int \Psi^* \hat{F} \Psi dx \right\} \\ &= \int \frac{\partial \Psi^*}{\partial t} \hat{F} \Psi dx + \int \Psi^* \hat{F} \frac{\partial \Psi}{\partial t} dx + \int \Psi^* \frac{\partial \hat{F}}{\partial t} \Psi dx \\ &= \int \left(\frac{\hat{H} \Psi}{i\hbar} \right)^* \hat{F} \Psi dx + \int \Psi^* \hat{F} \frac{\hat{H} \Psi}{i\hbar} dx + \left\langle \frac{\partial \hat{F}}{\partial t} \right\rangle \\ &\stackrel{\text{(PCH 2.7)}}{=} \int \frac{i}{\hbar} \Psi^* \hat{H} \hat{F} \Psi dx - \int \frac{i}{\hbar} \Psi^* \hat{F} \hat{H} \Psi dx + \left\langle \frac{\partial \hat{F}}{\partial t} \right\rangle \\ &= \frac{i}{\hbar} \langle [\hat{H}, \hat{F}] \rangle + \left\langle \frac{\partial \hat{F}}{\partial t} \right\rangle\end{aligned}$$

Ofta (alltid i TFY4215) er \hat{F} ikke eksplisitt avh. av t ,
dvs $\partial \hat{F} / \partial t = 0$. Da er

$$\boxed{\frac{d \langle F \rangle}{dt} = \frac{i}{\hbar} \langle [\hat{H}, \hat{F}] \rangle}$$

Dersom \hat{F} kommuterer med \hat{H} , er $\langle F \rangle$ en bevegelseskonstant.

Eks: $\langle p \rangle$ for fri partikkel ; da er $V = \text{konst.}$ og
 $[\hat{H}, \hat{p}] = 0$, dvs $\langle p \rangle$ er konstant, som ventet

Men hvis V avhenger av x , virker en kraft
 $F = -dV/dx$ på partikkelen, og $\langle p \rangle$ endrer
seg med tiden t . Og nå er $[\hat{H}, \hat{p}] = [V, \hat{p}] \neq 0$.

Ehrenfests teorem

(51)

[PCH 4.4; DJG 1.5, 4.1; IØ 4.4]

Knytter QM til Newtons 2. lov og viser at forventningsverdier $\langle x \rangle$ og $\langle p \rangle$ oppfyller klassiske bevegelsesligninger:

$$1D: \quad \frac{d}{dt} \langle x \rangle = \frac{\langle p \rangle}{m} \quad ; \quad \frac{d}{dt} \langle p \rangle = \langle -\frac{\partial V}{\partial x} \rangle$$

$$3D: \quad \frac{d}{dt} \langle \vec{r} \rangle = \frac{\langle \vec{p} \rangle}{m} \quad ; \quad \frac{d}{dt} \langle \vec{p} \rangle = \langle -\nabla V \rangle$$

La oss bevise dette i 1D:

$$\frac{d\langle x \rangle}{dt} = \frac{i}{\hbar} \langle [\hat{H}, x] \rangle = \frac{i}{2m\hbar} \langle [\hat{p}^2, x] \rangle \quad (\text{da } [V, x] = 0)$$

$$\begin{aligned} [\hat{p}^2, x] &= \hat{p}\hat{p}x - x\hat{p}\hat{p} = \hat{p}\hat{p}x - \hat{p}x\hat{p} + \hat{p}x\hat{p} - x\hat{p}\hat{p} \\ &= \hat{p}[\hat{p}, x] + [\hat{p}, x]\hat{p} = -2i\hbar\hat{p} \end{aligned}$$

$$\Rightarrow d\langle x \rangle/dt = \langle \hat{p} \rangle/m = \langle p \rangle/m$$

$$\frac{d\langle p \rangle}{dt} = \frac{i}{\hbar} \langle [\hat{H}, \hat{p}] \rangle = \frac{i}{\hbar} \langle [V, \hat{p}] \rangle \quad (\text{da } [\hat{p}^2, \hat{p}] = 0)$$

$$[V, \hat{p}]f(x) = V\frac{\hbar}{i}\frac{\partial f}{\partial x} - \frac{\hbar}{i}\frac{\partial}{\partial x}(Vf) = -\frac{\hbar}{i}\frac{\partial V}{\partial x}f(x)$$

$$\Rightarrow d\langle p \rangle/dt = -\langle \partial V/\partial x \rangle \quad (\text{som er Newtons 2. lov}) \quad (\text{qed})$$

Innsetting av $\langle p \rangle = m d\langle x \rangle/dt$ i $d\langle p \rangle/dt = \langle -\partial V/\partial x \rangle = \langle F \rangle$

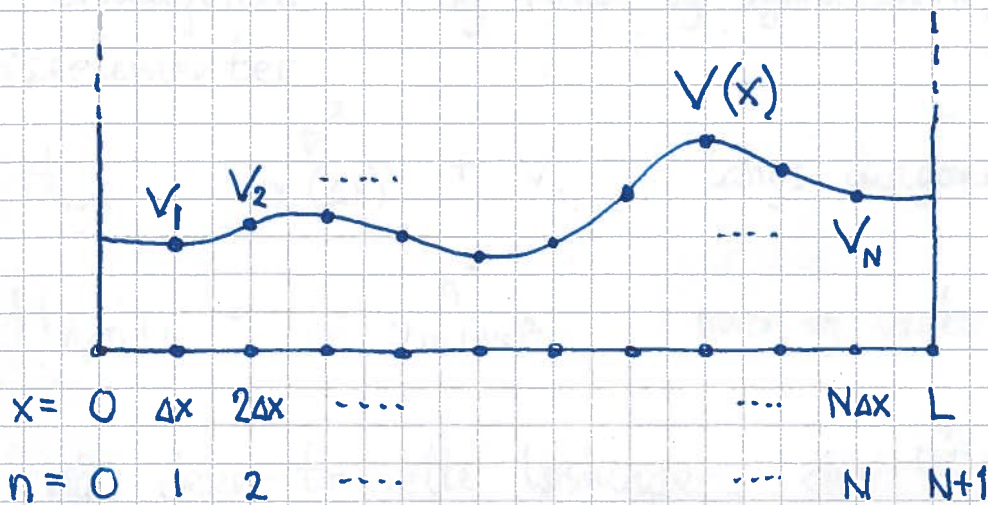
gir $m d^2\langle x \rangle/dt^2 = \langle F \rangle$. [Men merk at generelt er

$\langle F(x) \rangle \neq F(\langle x \rangle)$; se PCH 4.4]

Numerisk løsning av TUSL i 1D

Ønsker å løse TUSL med vilkårlig potensial $V(x)$ mellom $x=0$ og $x=L$. Vi setter $V=\infty$ for $x \leq 0$ og $x \geq L$.

Området $0 < x < L$ diskretiseres, dvs deles opp i $N+1$ små intervaller med bredde $\Delta x = L/(N+1)$:



$$\Rightarrow x_n = n \cdot \Delta x, \quad V_n = V(x_n) ; \quad n = 0, 1, \dots, N, N+1$$

$$\text{der vi setter } V_0 = V_{N+1} = \infty$$

$$\text{TUSL: } -\frac{\hbar^2}{2m} \psi''(x) + V(x)\psi(x) = E\psi(x)$$

$$\psi_n = \psi(x_n) ; \quad \psi_0 = \psi_{N+1} = 0$$

ψ'' tilnærmes med endelige differanser:

$$\begin{aligned} \psi''(x_n) = \psi''_n &\approx \frac{\psi_{n+1/2}^r - \psi_{n-1/2}^r}{\Delta x} \approx \frac{\frac{\psi_{n+1} - \psi_n}{\Delta x} - \frac{\psi_n - \psi_{n-1}}{\Delta x}}{\Delta x} \\ &= \frac{\psi_{n+1} - 2\psi_n + \psi_{n-1}}{(\Delta x)^2} \end{aligned}$$

$$\Rightarrow -\frac{\hbar^2}{2m(\Delta x)^2} \left\{ \Psi_{n+1} - 2\Psi_n + \Psi_{n-1} \right\} + V_n \Psi_n = E \Psi_n$$

$$n = 1, 2, \dots, N$$

Dvs N ligninger for de N ukjente $\Psi_1, \Psi_2, \dots, \Psi_N$.

Kan skrives på matriseform

$$\mathbb{H} \vec{\Psi} = E \vec{\Psi}$$

med tridiagonal (og reell og symmetrisk) \mathbb{H} med matriselementer

$$H_{nn} = \frac{\hbar^2}{m(\Delta x)^2} + V_n \quad \text{langs diagonalen}$$

$$H_{n,n\pm 1} = -\frac{\hbar^2}{2m(\Delta x)^2} \quad \text{over og under diagonalen}$$

Har nå ikke-trivielle løsninger, dvs $\vec{\Psi} \neq 0$, dersom

$$\det \{ \mathbb{H} - E \mathbb{1} \} = 0$$

som gir en N -gradsligning

$$c_N E^N + c_{N-1} E^{N-1} + \dots + c_1 E + c_0 = 0$$

med N løsninger E_1, E_2, \dots, E_N og

tilhørende egenvektorer $\vec{\Psi}^{(1)}, \vec{\Psi}^{(2)}, \dots, \vec{\Psi}^{(N)}$

som bestemmes ved å løse

$$(\mathbb{H} - E_j \mathbb{1}) \vec{\Psi}^{(j)} = 0 \quad ; \quad j = 1, 2, \dots, N$$

$$\text{Normering: } \int_{-\infty}^{\infty} |\Psi^{(j)}(x)|^2 dx \rightarrow \sum_{n=1}^N |\Psi_n^{(j)}|^2 \Delta x = 1 \quad ; \quad j = 1, 2, \dots, N$$

der $\Psi_n^{(j)} = \Psi^{(j)}(x_n) =$ verdien av $\Psi^{(j)}$ i posisjon $x_n = n \cdot \Delta x$.

Løses i python med f.eks. `eigh_tridiagonal` fra `scipy`. (54)

Med N punkter x_n fås N ortonormerte egenfunksjoner $\psi^{(j)}(x)$, i python normert slik at

$$\sum_{n=1}^N \psi_n^{(j)} \cdot \psi_n^{(k)} = \delta_{jk} \quad (\text{uten } \Delta x)$$

Disse utgjør et såkalt fullstendig sett, som vi f.eks kan utvikle en vilkårlig starttilstand Ψ :

$$\Psi(x, 0) = \sum_{j=1}^N c^{(j)} \psi^{(j)}(x)$$

Som på s. 37 fastlegges utviklingskoeffisientene:

$$\Psi_k = \sum_j c^{(j)} \psi_k^{(j)} \quad ; \quad \Psi_k = \Psi(x_k, 0), \quad \psi_k^{(j)} = \psi^{(j)}(x_k)$$

$$\Rightarrow \sum_k \psi_k^{(i)} \Psi_k = \sum_j c^{(j)} \sum_k \psi_k^{(i)} \psi_k^{(j)} = \sum_j c^{(j)} \delta_{ij} = c^{(i)}$$

Vi setter $c^{(j)}$ tilbake i utviklingen av Ψ_k :

$$\begin{aligned} \Psi_k &= \sum_j \sum_l \psi_l^{(j)} \Psi_l \psi_k^{(j)} \\ &= \sum_l \Psi_l \sum_j \psi_l^{(j)} \psi_k^{(j)} \end{aligned}$$

som for vilkårlig Ψ_k bare kan være oppfylt dersom

$$\sum_j \psi_l^{(j)} \psi_k^{(j)} = \delta_{lk}$$

som kalles fullstendighetsrelasjonen for funksjonssettet $\{\psi^{(j)}\}$. (Se PCH 2.4.1)

[Merk: Har ovenfor antatt at $\psi^{(j)}$ er reelle.]

Med $\{c^{(j)}\}$ på plass kan vi studere tidsutviklingen

$$\Psi(x_k, t) = \Psi_k(t) = \sum_j c^{(j)} \psi_k^{(j)} \exp(-iE_j t/\hbar)$$

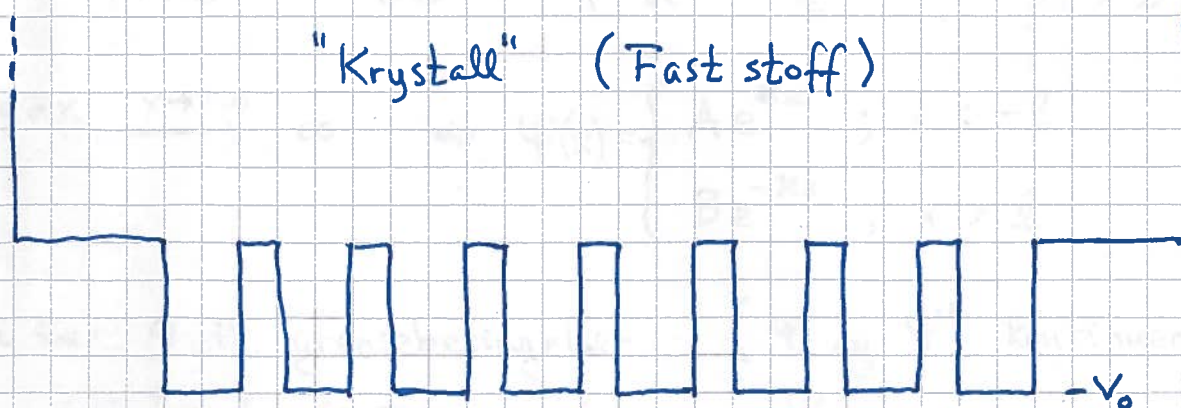
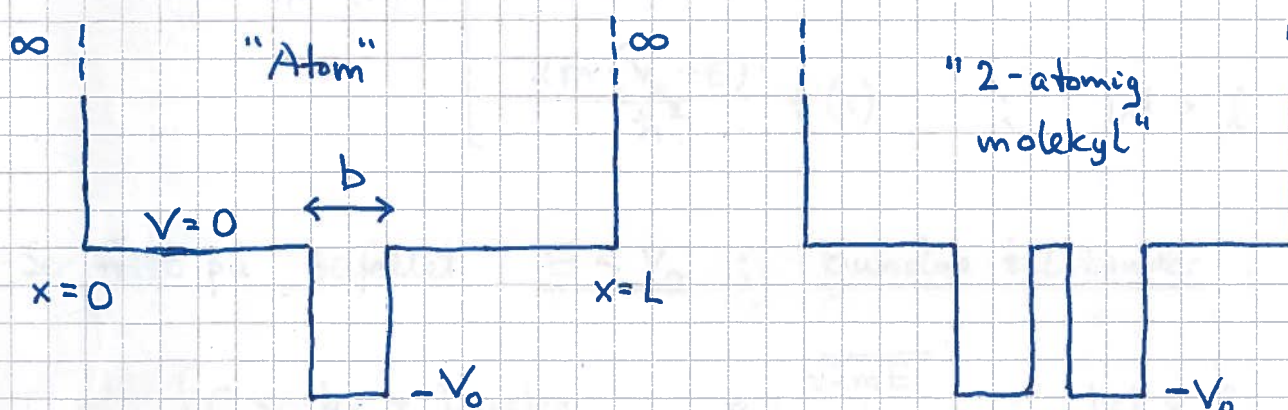
og vi kan beregne forventningsverdier $\langle x \rangle(t)$ og

$\langle p \rangle(t)$ i henhold til postulat C_1 , og

sannsynlighetsstrøm $j(x_k, t)$ som på s. 42 ; osv.

Obligatorisk øving / Fysikkprosjekt i TMA4320 :

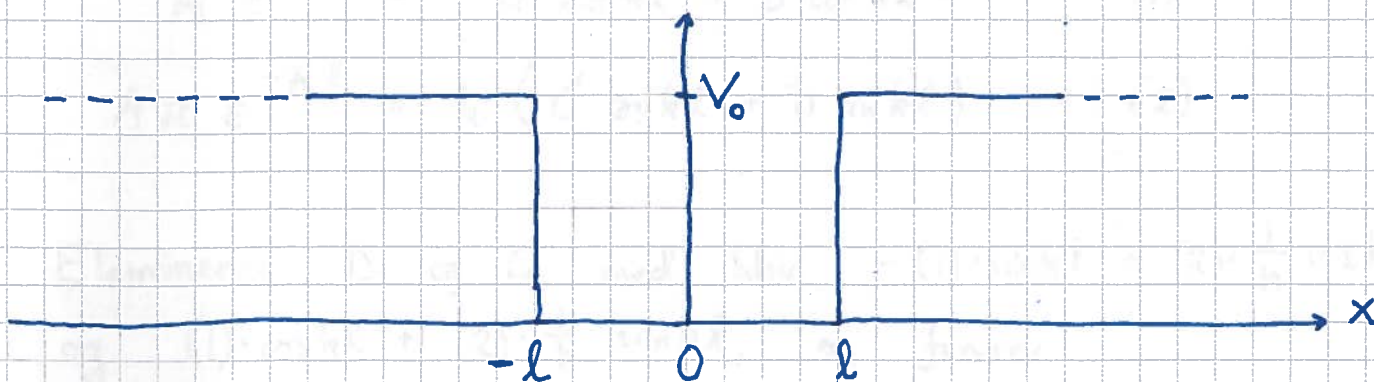
Numerisk løsning av endimensjonale modeller for atom, molekyl og krystall.



Dvs: Stykkevis konstante potensialer. En eller flere endelige potensialbrønner.

Endelig potensialbrønn [PCH 3.3; DFG 2.6; IØ 3.2]

(56)



$$\text{dvs } V(x) = \begin{cases} 0 & ; |x| < l \\ V_0 & ; |x| > l \end{cases}$$

$$\text{TUSL: } \psi''(x) = \begin{cases} -\frac{2mE}{\hbar^2} \psi(x) & ; |x| < l \\ \frac{2m(V_0 - E)}{\hbar^2} \psi(x) & ; |x| > l \end{cases}$$

Ser først på tilfellet $E < V_0$; bundne tilstander :

$$\psi(x) = \begin{cases} C \sin kx + D \cos kx & ; k = \frac{\sqrt{2mE}}{\hbar} ; |x| < l \\ A e^{\gamma x} + B e^{-\gamma x} & ; \gamma = \frac{\sqrt{2m(V_0 - E)}}{\hbar} ; |x| > l \end{cases}$$

$$e^{\pm \gamma x} \xrightarrow{x \rightarrow \pm \infty} \infty \Rightarrow \psi(x) = \begin{cases} A e^{\gamma x} & ; x < -l \\ B e^{-\gamma x} & ; x > l \end{cases}$$

Vi har 4 stk. grensebetingelser (ψ og ψ' kontinuerlige i $x = \pm l$) samt normering av ψ

\Rightarrow Kan fastlegge koeffisientene A, B, C, D og energien E .

Symmetrisk $V(x) \Rightarrow$ Symm. $|\psi|^2 \Rightarrow$ Symm. ($D \cos kx$) og antisymm. ($C \sin kx$) løsninger

Ψ og Ψ' kontinuert i $x = -l \Rightarrow$

(57)

$$A e^{-\lambda l} = -C \sin kl + D \cos kl \quad (1)$$

$$A \lambda e^{-\lambda l} = k (C \cos kl + D \sin kl) \quad (2)$$

Eliminerer D og C med hhv $-(1) \cdot \sin kl + (2) \cdot \frac{1}{k} \cos kl$
og $(1) \cdot \cos kl + (2) \cdot \frac{1}{k} \sin kl$, og finner

$$C = A e^{-\lambda l} \cos kl \left(\frac{\lambda}{k} - \tan kl \right) \quad (3)$$

$$D = A e^{-\lambda l} \cos kl \left(1 + \frac{\lambda}{k} \tan kl \right) \quad (4)$$

Ψ og Ψ' kontinuert i $x = l \Rightarrow$

$$B e^{-\lambda l} = C \sin kl + D \cos kl \quad (5)$$

$$-B \lambda e^{-\lambda l} = k (C \cos kl - D \sin kl) \quad (6)$$

Kombinasjonen $(5) \cdot \lambda/k + (6) \cdot 1/k$ og divisjon med $\cos kl$ gir

$$C \left(\frac{\lambda}{k} \tan kl + 1 \right) + D \left(\frac{\lambda}{k} - \tan kl \right) = 0 \quad (7)$$

hvoretter innsetting av C og D fra hhv (3) og (4) gir

$$2 \left(\frac{\lambda}{k} \tan kl + 1 \right) \left(\frac{\lambda}{k} - \tan kl \right) = 0$$

Antisymm. (AS) løsninger:

$$\frac{\lambda}{k} \tan kl + 1 = 0 \Rightarrow D = 0 \Rightarrow \Psi(x) = C \sin kx$$

Symm. (S) løsninger:

$$\frac{\lambda}{k} - \tan kl = 0 \Rightarrow C = 0 \Rightarrow \Psi(x) = D \cos kx$$

Tilhørende energiegenverdier:

(58)

$$\tan kl = \begin{cases} \frac{\hbar k}{\alpha} & (S) \\ -\frac{\alpha}{\hbar k} & (AS) \end{cases} \Rightarrow \tan \frac{\sqrt{2mE}l}{\hbar} = \begin{cases} \sqrt{\frac{V_0 - E}{E}} & (S) \\ -\sqrt{\frac{E}{V_0 - E}} & (AS) \end{cases}$$

Grensen $V_0 \rightarrow \infty$ tilsvarer partikkel i boks:

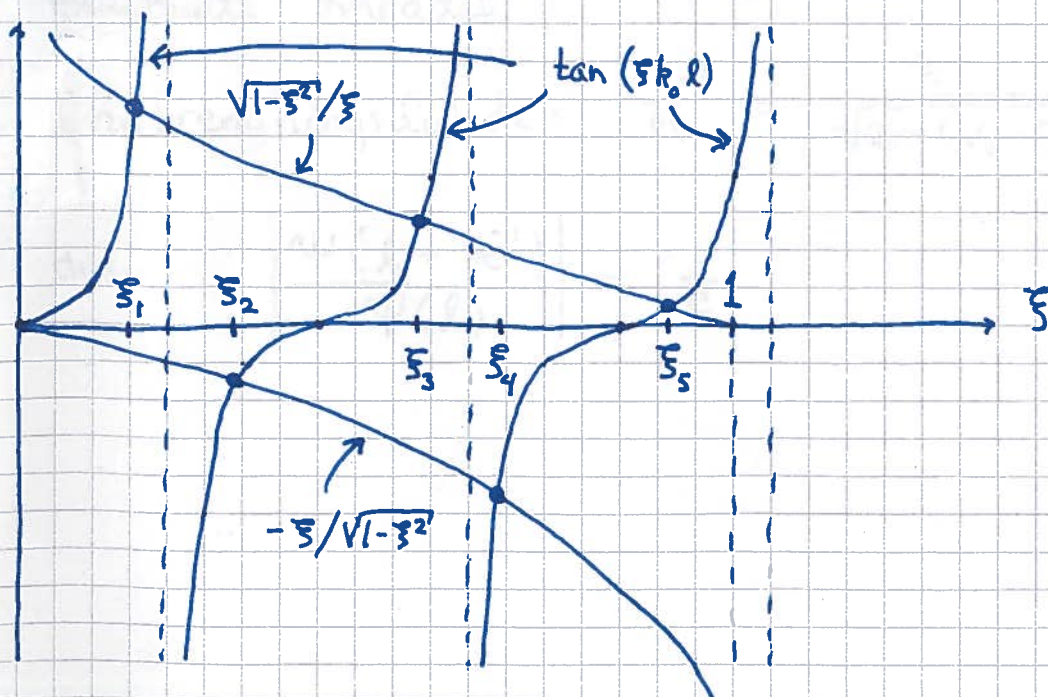
$$\tan \frac{\sqrt{2mE}l}{\hbar} = \begin{cases} \infty & (S) \\ 0 & (AS) \end{cases} \Rightarrow \frac{\sqrt{2mE}l}{\hbar} = \begin{cases} \frac{\pi}{2}, \frac{3\pi}{2}, \dots & (S) \\ \pi, 2\pi, \dots & (AS) \end{cases}$$

$$\Rightarrow E_n = \frac{\hbar^2}{2ml^2} \left(\frac{n\pi}{2}\right)^2 \stackrel{L=2l}{=} \frac{\hbar^2 \pi^2 n^2}{2mL^2} \quad (n=1,2,3,\dots) \quad \underline{\underline{OK!}}$$

Hvor mange bundne løsninger med endelig V_0 ?

Innfør $\xi = \sqrt{E/V_0}$ ($0 < \xi < 1$) og $k_0 = \frac{\sqrt{2mV_0}}{\hbar}$

$$\Rightarrow \tan(\xi \cdot k_0 l) = \begin{cases} \sqrt{1 - \xi^2} / \xi & (S) \\ -\xi / \sqrt{1 - \xi^2} & (AS) \end{cases}$$



- Minst en (symm) bundet tilstand: $\sqrt{1-\xi^2}/\xi$ må krysse $\tan(\xi k_0 l)$ minst en gang.
- Dypere og bredere brønn (dvs økende $k_0 l$) gir økende antall bundne tilstander: Da flyttes asymptotene til $\tan(\xi k_0 l)$ mot lavere ξ -verdier.
- Hvis $(N-1)\frac{\pi}{2} < k_0 l < N\frac{\pi}{2}$, har vi N bundne tilstander. Da er

$$N < \frac{2}{\pi} k_0 l + 1 < N+1$$
 dvs

$$N = 1 + \text{heltallsverdi av } \frac{2k_0 l}{\pi}$$

$$= 1 + \text{ " " " } \frac{2\sqrt{2mV_0} l}{\pi \hbar}$$
- $\psi(x) \sim \exp(-\kappa|x|)$ for $|x| > l$, dvs $|\psi|^2 > 0$ selv om $E < V_0$, dvs en viss sannsynlighet for at partikkelen befinner seg i det klassisk forbudte området.

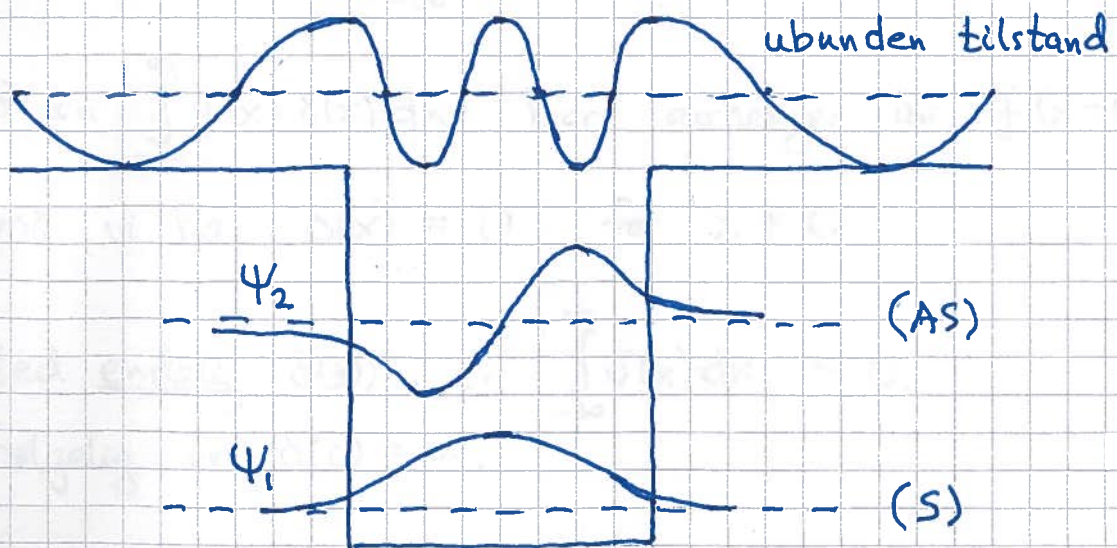
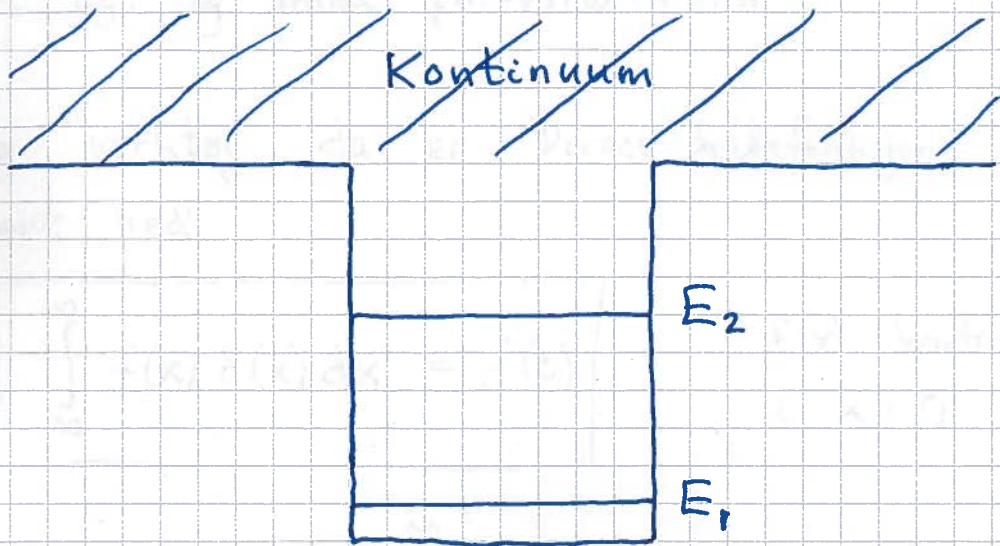
Inntrengningsdybde: $\kappa^{-1} = \frac{\hbar}{\sqrt{2m(V_0 - E)}}$

dvs $\left| \frac{\psi(l + \kappa^{-1})}{\psi(l)} \right| = \frac{1}{e}$

For $E > V_0$ har vi et kontinuum av ubundne tilstander. For $|x| > l$ har TUSL nå løsninger

$$\Psi(x) = a \sin Kx + b \cos Kx ; K = \frac{\sqrt{2m(E-V_0)}}{\hbar}$$

som kan "matches" (dvs: Ψ og Ψ' kontinuerlige i $x = \pm l$) med $G \sin kx + D \cos kx$ ($k = \sqrt{2mE}/\hbar$) for alle verdier av $E > V_0$.



Diracs deltafunksjon

[PCH 3.4, App B ; DFG 2.5 ; IØ 3.3, 2.4.f]

Kan i fysikk ha behov for å beskrive størrelser som er sterkt lokalisert, i rom eller tid. Eksempler:

Massetetthet for punktmasse

Ladningstetthet for punktladning

Innbyrdes krefter i kortvarige kollisjoner

Svært dyp og smal potensialbrønn

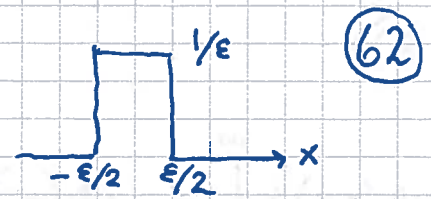
Nyttig "verktøy" da er Diracs deltafunksjon $\delta(x)$, definert ved

$$\int_{-\infty}^{\infty} f(x) \delta(x) dx = f(0)$$

$f(x)$ kontinuertlig
i $x=0$

- $f(x) = 1 \Rightarrow \int_{-\infty}^{\infty} \delta(x) dx = 1$
- Siden $\int_{-\infty}^{\infty} f(x) \delta(x) dx$ bare avhenger av $f(x=0)$ må vi ha $\delta(x) = 0$ for $x \neq 0$
- Med endelig $\delta(0)$ er $\int_{-\infty}^{\infty} \delta(x) dx = 0$.
Følgelig er $\delta(0) = \infty$.
- $\delta(x)$ er ikke en ordinær funksjon, men kan representeres med ordinære funksjoner

Eks 1:
$$\delta_\epsilon(x) = \begin{cases} 1/\epsilon & ; |x| \leq \epsilon/2 \\ 0 & ; |x| > \epsilon/2 \end{cases}$$



$$\left. \begin{aligned} \lim_{\epsilon \rightarrow 0} \delta_\epsilon(x) &= \begin{cases} \infty & ; x = 0 \\ 0 & ; x \neq 0 \end{cases} \\ \int_{-\infty}^{\infty} \delta_\epsilon(x) dx &= \frac{1}{\epsilon} \cdot \epsilon = 1 \end{aligned} \right\} \Rightarrow \delta(x) = \lim_{\epsilon \rightarrow 0} \delta_\epsilon(x)$$

Eks 2:
$$\delta_\epsilon(x) = \frac{1}{2\pi} \int_{-1/\epsilon}^{1/\epsilon} e^{ikx} dk = \frac{\sin(x/\epsilon)}{\pi x}$$

$$\lim_{\substack{x \rightarrow 0 \\ \epsilon \rightarrow 0}} \frac{\sin(x/\epsilon)}{\pi x} = \lim_{\epsilon \rightarrow 0} \frac{x/\epsilon}{\pi x} = \infty$$

$\frac{\sin(x/\epsilon)}{\pi x}$ oscillerer uendelig raskt i grensen $\epsilon \rightarrow 0$, unntatt i $x = 0$

$$\Rightarrow \lim_{\epsilon \rightarrow 0} \int_{-\infty}^{\infty} \frac{\sin(x/\epsilon)}{\pi x} f(x) dx = f(0) \underbrace{\lim_{\epsilon \rightarrow 0} \int_{-\infty}^{\infty} \frac{\sin(x/\epsilon)}{\pi x} dx}_{= 1 \text{ (uavh. av } \epsilon)} = f(0)$$

$$\Rightarrow \delta(x) = \lim_{\epsilon \rightarrow 0} \delta_\epsilon(x) = \frac{1}{2\pi} \int_{-\infty}^{\infty} e^{ikx} dk$$

(Fourier-representasjon av $\delta(x)$.)

Flere egenskaper:

$$\bullet \int_{-\infty}^{\infty} \delta(x) dx \quad \begin{array}{l} y = -x \\ dy = -dx \end{array} \quad \int_{\infty}^{-\infty} \delta(-y)(-dy) = \int_{-\infty}^{\infty} \delta(-y) dy = \int_{-\infty}^{\infty} \delta(-x) dx$$

$$\Rightarrow \boxed{\delta(-x) = \delta(x)} \quad \Rightarrow \delta(x) = \frac{1}{2\pi} \int_{-\infty}^{\infty} e^{\pm i k x} dk$$

$$\bullet \int_{-\infty}^{\infty} f(x) \delta(ax) dx \quad \begin{array}{l} y = ax \\ dy = a dx \end{array} \quad \int_{-\infty}^{\infty} f\left(\frac{y}{a}\right) \delta(y) \frac{dy}{a} = \frac{f(0)}{a} \quad (a > 0)$$

Med $a < 0$: $\int_{\infty}^{-\infty} f\left(\frac{y}{a}\right) \delta(y) \frac{dy}{a} = - \frac{f(0)}{a} = \frac{f(0)}{|a|}$

$$\Rightarrow \boxed{\int_{-\infty}^{\infty} f(x) \delta(ax) dx = \frac{f(0)}{|a|}}$$

$$\Rightarrow \boxed{\delta(ax) = \frac{\delta(x)}{|a|}}$$

• Definisjon av $\delta(\vec{r})$ i flere dimensjoner, f.eks. tre:

$$\int f(\vec{r}) \delta(\vec{r}) d^3r = f(0)$$

ders $\delta(\vec{r}) = \infty$ for $x = y = z = 0$, og $\delta(\vec{r}) = 0$ ellers

$$\Rightarrow \boxed{\delta(\vec{r}) = \delta(x) \cdot \delta(y) \cdot \delta(z)}$$

• Enhet: $\int \delta(x) dx = 1 \Rightarrow [\delta(x)] = \frac{1}{[x]}$

$$\int \delta(\vec{r}) d^3r = 1 \Rightarrow [\delta(\vec{r})] = \frac{1}{[r]}$$

Eks 1: Punktladning q i posisjon \vec{a}

(64)

$$\rho(\vec{r}) = q \cdot \delta(\vec{r} - a); \quad [\rho] = C \cdot m^{-3}, \text{ OK}$$

Eks 2: Kraft fra vegg på ball som treffer vegg
ved tidspunkt t_0 .

$$F(t) = p \cdot \delta(t - t_0); \quad p = \text{ballens impuls-} \\ \text{endring i kollisjonen}; \quad [p] = N \cdot s = \text{kg m/s}, \text{ OK}$$

Normering med δ -funksjonen

Med Eks 2 s. 62 kan vi nå normere plane bølger

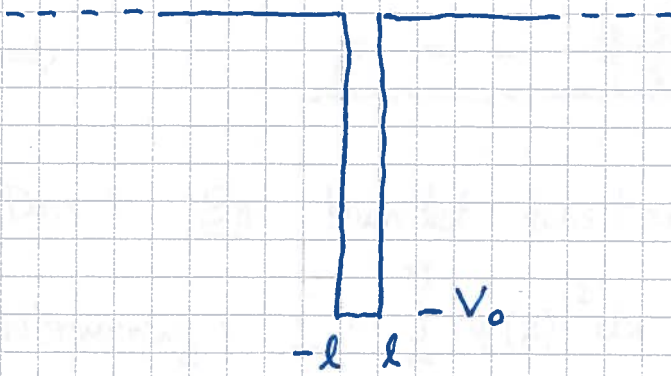
$$\Psi_p(x) = C e^{ipx/\hbar}$$

som er egenfunksjoner til $\hat{p} = \frac{\hbar}{i} \frac{\partial}{\partial x}$:

$$\begin{aligned} \int_{-\infty}^{\infty} \Psi_p^*(x) \Psi_{p'}(x) dx &= |C|^2 \int_{-\infty}^{\infty} e^{i(p'-p)x/\hbar} dx \\ &= |C|^2 \hbar \int_{-\infty}^{\infty} e^{i(p'-p)y} dy \\ &= |C|^2 \hbar \cdot 2\pi \delta(p'-p) \end{aligned}$$

Med $C = 1/\sqrt{2\pi\hbar}$, dvs $\Psi_p(x) = (2\pi\hbar)^{-1/2} e^{ipx/\hbar}$, har vi δ -funksjonsnormering i den kontinuerlige delen av energispekteret (ubundne tilstander):

$$\langle \Psi_p, \Psi_{p'} \rangle = \int_{-\infty}^{\infty} \Psi_p^*(x) \Psi_{p'}(x) dx = \delta(p'-p) = \delta(p-p')$$

Deltafunksjonsbrønn

$$V_0 \rightarrow \infty$$

$$l \rightarrow 0$$

$$\beta = 2V_0 l \text{ endelig}$$

$$V(x) = -\beta \delta(x)$$

Bundet tilstand, $E < 0$:

For $x \neq 0$ er $V(x) = 0$

$$\Rightarrow \psi'' - \kappa^2 \psi = 0 \quad ; \quad \kappa^2 = -\frac{2mE}{\hbar^2} = \frac{2m|E|}{\hbar^2}$$

$$\Rightarrow \psi(x) = \begin{cases} C e^{-\kappa x} & ; x > 0 \\ C e^{\kappa x} & ; x < 0 \end{cases} \quad \text{og} \quad \psi(0) = C$$

Finner E ved å integrere TUSL fra $-\epsilon$ til ϵ og la $\epsilon \rightarrow 0$ til slutt:

$$-\frac{\hbar^2}{2m} \psi'' + V(x) \psi = E \psi$$

$$\Rightarrow \frac{d}{dx} \psi' = \frac{2m}{\hbar^2} V(x) \psi - \frac{2m}{\hbar^2} E \psi$$

$$\Rightarrow \lim_{\epsilon \rightarrow 0} \int_{-\epsilon}^{\epsilon} \frac{d}{dx} \psi'(x) dx = \lim_{\epsilon \rightarrow 0} \frac{2m(-\beta)}{\hbar^2} \int_{-\epsilon}^{\epsilon} \delta(x) \psi(x) dx + 0$$

$$\Rightarrow \psi'(0^+) - \psi'(0^-) = -\frac{2m\beta}{\hbar^2} \psi(0)$$

$$\Rightarrow -\kappa C - \kappa C = -\frac{2m\beta}{\hbar^2} C$$

$$\Rightarrow \kappa = m\beta/\hbar^2$$

(66)

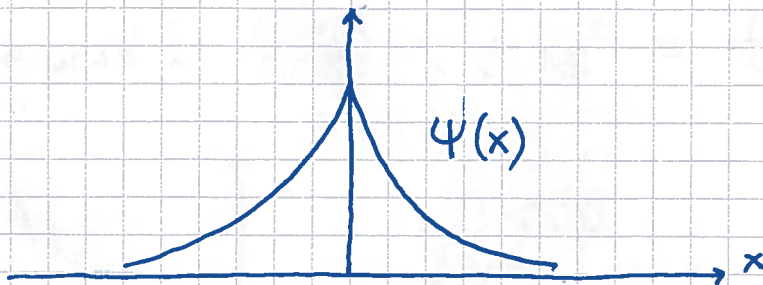
$$\Rightarrow \frac{2mE}{\hbar^2} = -\kappa^2 = -\frac{m^2 \beta^2}{\hbar^4}$$

$$\Rightarrow \underline{E = -\frac{m\beta^2}{2\hbar^2}}$$

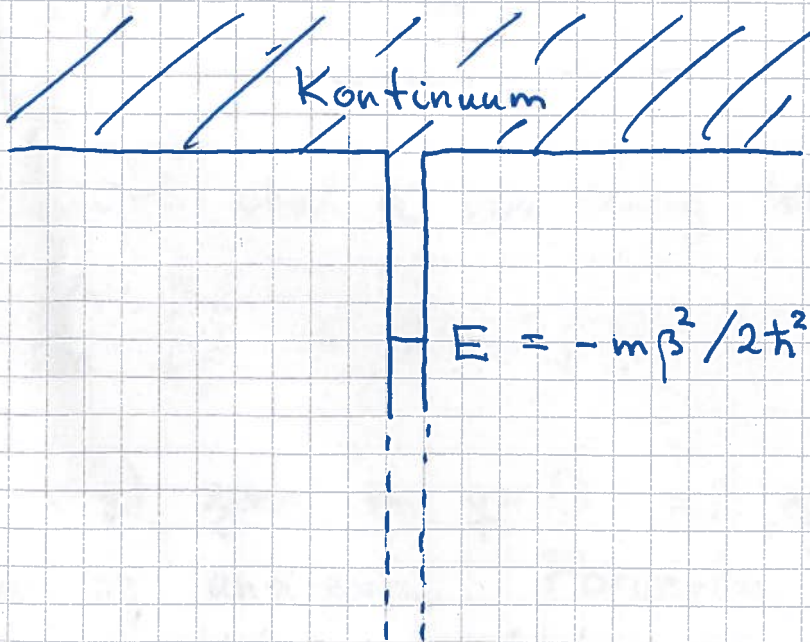
Dvs: $\underline{E_n}$ bundet tilstand i δ -brønnen

$$\text{Normering: } 1 = \int_{-\infty}^{\infty} |\psi(x)|^2 dx = |G|^2 \cdot 2 \int_0^{\infty} e^{-2\kappa x} dx = \frac{|G|^2}{\kappa}$$

$$\Rightarrow \psi(x) = \frac{\sqrt{m\beta}}{\hbar} e^{-m\beta|x|/\hbar^2}$$

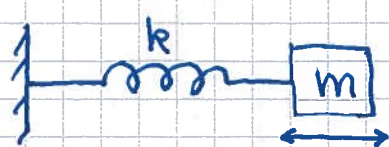


$E > 0$ tilsværer kontinuerlig spektrum av ubundne tilst.



Harmonisk oscillator [PCH 3.5; DJG 2.3.2; IØ 3.4]

Klassisk:



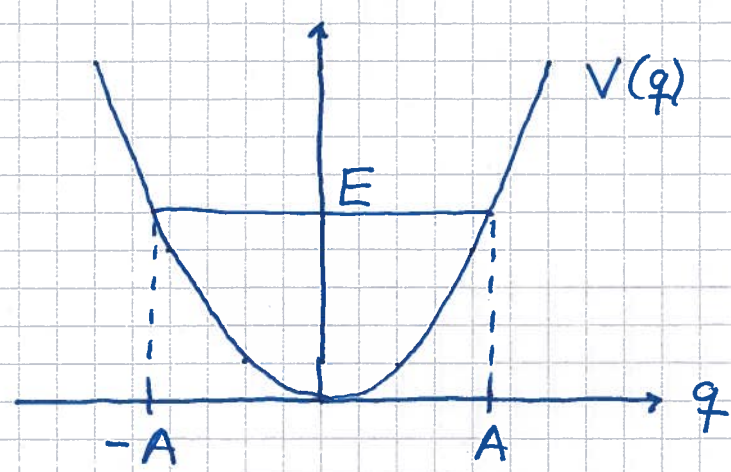
$q(t)$ = utsving fra likevekt

Hookes lov: $F(q) = -kq \xrightarrow{N^2} \ddot{q} + \omega^2 q = 0 ; \omega^2 = \frac{k}{m}$

Med f.eks. $q(0) = A$ og $\dot{q}(0) = 0 : q(t) = A \cos \omega t$

$$E = K + V = \frac{1}{2} m \dot{q}^2 + \frac{1}{2} k q^2 = \frac{1}{2} k A^2$$

$$\text{Potensial: } V(q) = \frac{1}{2} k q^2 = \frac{1}{2} m \omega^2 q^2$$



Klassiske
vendepunkter:
 $q = \pm A$

Med QM skal vi som vanlig løse TUSL:

$$-\frac{\hbar^2}{2m} \frac{d^2 \Psi}{dq^2} + \frac{1}{2} m \omega^2 q^2 \Psi = E \Psi$$

Med $V(q)$ symm. om $q=0$ må egenfunk. $\Psi(q)$ bli symm. og antisymm. Forventer symm. grunntilstand uten nullpunkter og vekselvis AS og S eksiterte tilstander med økende antall nullpunkter.